



Ultimo ciclo Glaciar / Interglaciar



Ultimo ciclo Glaciar / Interglaciar

Periodización Xeral

Ma	Era	Sistema	Periodo
2,4 - 0	4º	CENOZOICO	CUATERNARIO
2,4 - 65,5	3º		TERCIARIO
65,5 - 140	2º	MESOZOICO	CRETACICO
140 - 210			JURASICO
210 - 250			TRIASICO
250 - 290	1º	PALEOZOICO	PERMICO
290 - 360			CARBONIFERO
360 - 410			DEVONICO
410 - 440			SILURICO
440 - 500			ORDOVICIO
500 - 590			CAMBRICO
5,9-1x10³	PRECAMBRIICO	PROTEROZOICO	PALEOFITICO (590 - 1500 Ma)
1-2,5 x10³	CRIPTOZOICO	ALGONQUIANO	Antiguo
2,5-3x10³	ARCAICO	ARCAICO	PROTERO-FITICO (1500-3500 Ma)
3-3,5x10³		ARQUEOZOICO	
3,5-4 x10³		AZOICO	AZOICO
>4,5 x10³	HADESICO (Priscoan)		
5 x10³	Formación del Sistema Solar		



SUPERIOR

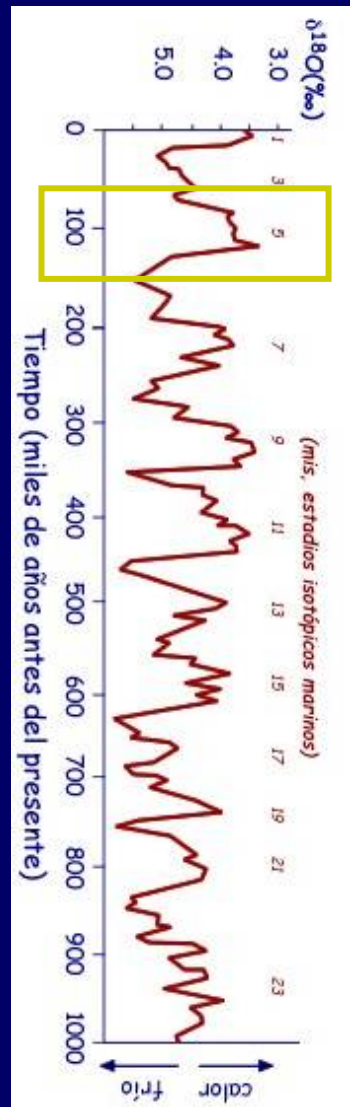
PLEISTOCENO MEDIO

Época de polaridad normal de Brunhes

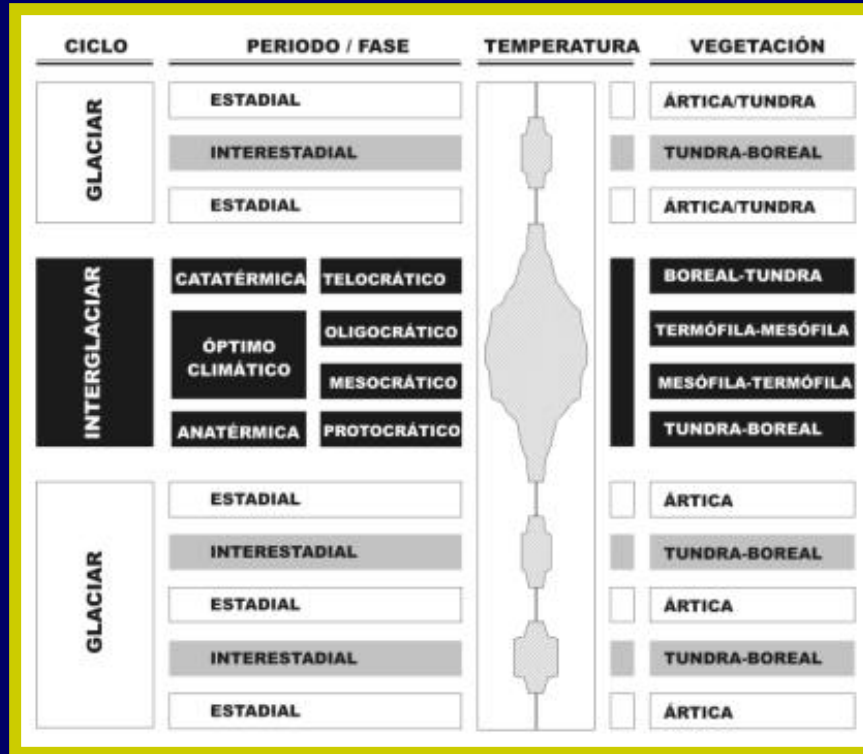
Época de polaridad invertida de Matuyama

OIS	EDAD	CLIMA	CICLO
OIS	Edad de termino	Caract. climática	Ciclos
2	13.000	Glaciar	I
3	32.000	Interestadial	
4	64.000	Glaciar	
5	75.000	Interglaciar	II
6	128.000	Glaciar	
7	195.000	Interglaciar	II
8	251.000	Glaciar	
9	297.000	Interglaciar	IV
10	349.000	Glaciar	
11	397.000	Interglaciar	V
12	440.000	Glaciar	
13	472.000	Interglaciar	VI
14	502.000	Glaciar	
15	542.000	Interglaciar	VII
16	592.000	Glaciar	
17	627.000	Interglaciar	VIII
18	647.000	Glaciar	
19	688.000	Interglaciar	
20	730.000	Glaciar	

Ma	Era	Sistema	Periodo						
2,4 - 0	FANEROZOICO	CENOZOICO	CUATERNARIO						
2,4 - 65,5			TERCIARIO						
65,5 - 140			CRETACICO						
140 - 210		MESOZOICO	JURASICO						
210 - 250			TRIASICO						
250 - 290			PERMICO						
290 - 360		PALEOZOICO	CARBONIFERO						
360 - 410			DEVONICO						
410 - 440			SILURICO						
440 - 500			ORDOVICIO						
500 - 590	CAMBRICO								
5,9-1x10 ³	PRECAMBRIICO	PROTEROZOICO	CRIPTOZOICO	ALGONQUIANO	Reciente	PALEOFITICO (590 - 1500 Ma)			
							Antiguo		
					1-2,5 x10 ³			ARCAICO	ARQUEOZOICO
							2,5-3x10 ³		
3-3,5x10 ³				AZOICO	AZOICO				
3,5-4 x10 ³									
>4,5 x10 ³				HADESICO (Priscoan)					
5 x10 ³				Formación del Sistema Solar					



Esquema climático y ecológico de un ciclo Glaciar - Interglaciar

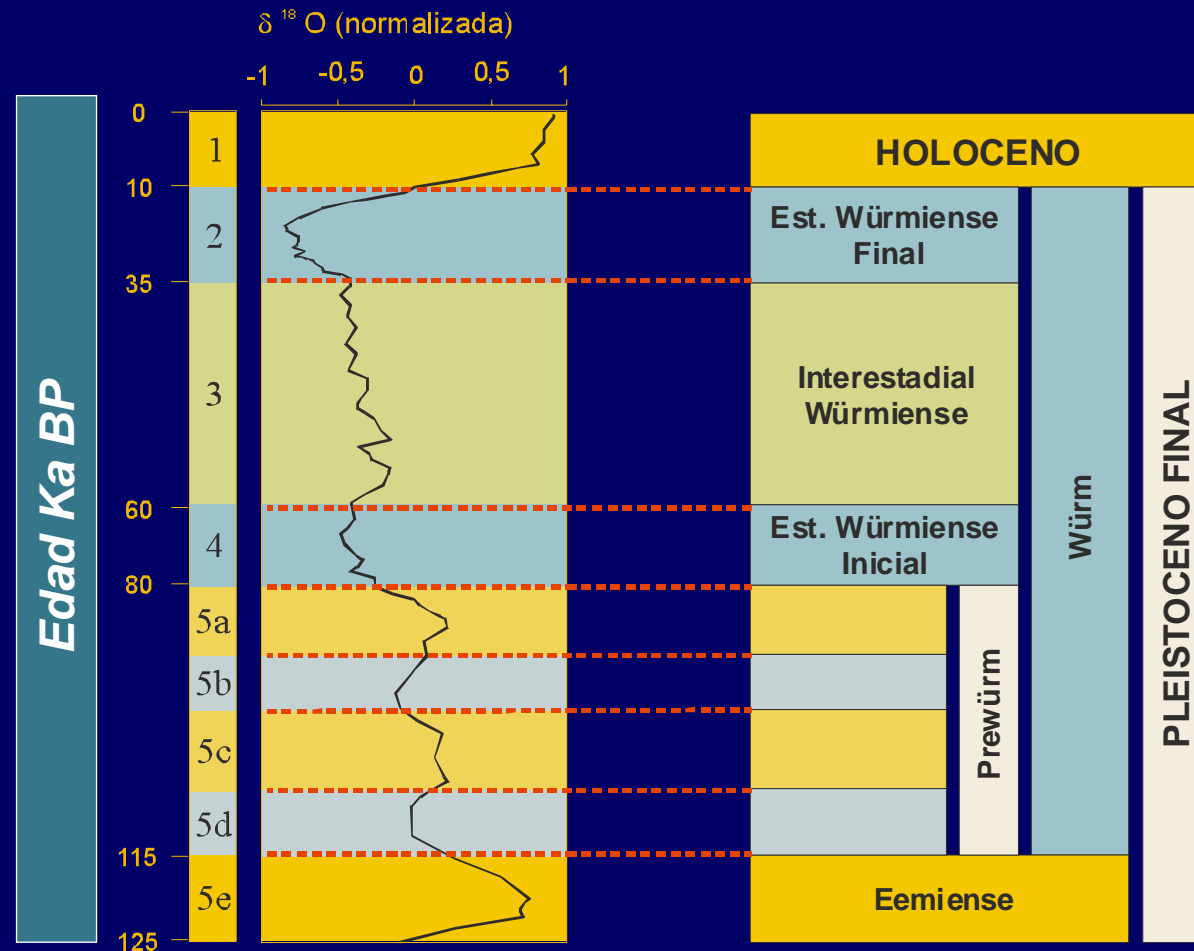


Ma	Era	Sistema	Periodo
2,4 - 0	4º	CENOZOICO	CUATERNARIO
2,4 - 65,5	3º		TERCIARIO
65,5 - 140			CRETACICO
140 - 210	2º	MESOZOICO	JURASICO
210 - 250			TRIASICO
250 - 290			PERMICO
290 - 360			CARBONIFERO
360 - 410	1º	PALEOZOICO	DEVONICO
410 - 440			SILURICO
440 - 500			ORDOVICIO
500 - 590			CAMBRICO
5,9-1x10³	PRECAMBRIICO	PROTEROZOICO	PALEOFITICO (590 - 1500 Ma)
1-2,5 x10³		ALGONQUIANO	
2,5-3x10³		Antiguo	
3-3,5x10³	ARCAICO	ARCAICO	PROTERO-FITICO (1500-3500 Ma)
3,5-4 x10³		ARQUEOZOICO	
>4,5 x10³		AZOICO	AZOICO
		HADESICO (Priscoan)	
5 x10³		Formación del Sistema Solar	

Pleistoceno Final en Europa

Cronología isotópica

Periodización



Area Longa 0m



Pla de l'Estany 520 m

Padul 785 m

Area Longa (Fazouro, Foz, Lugo)

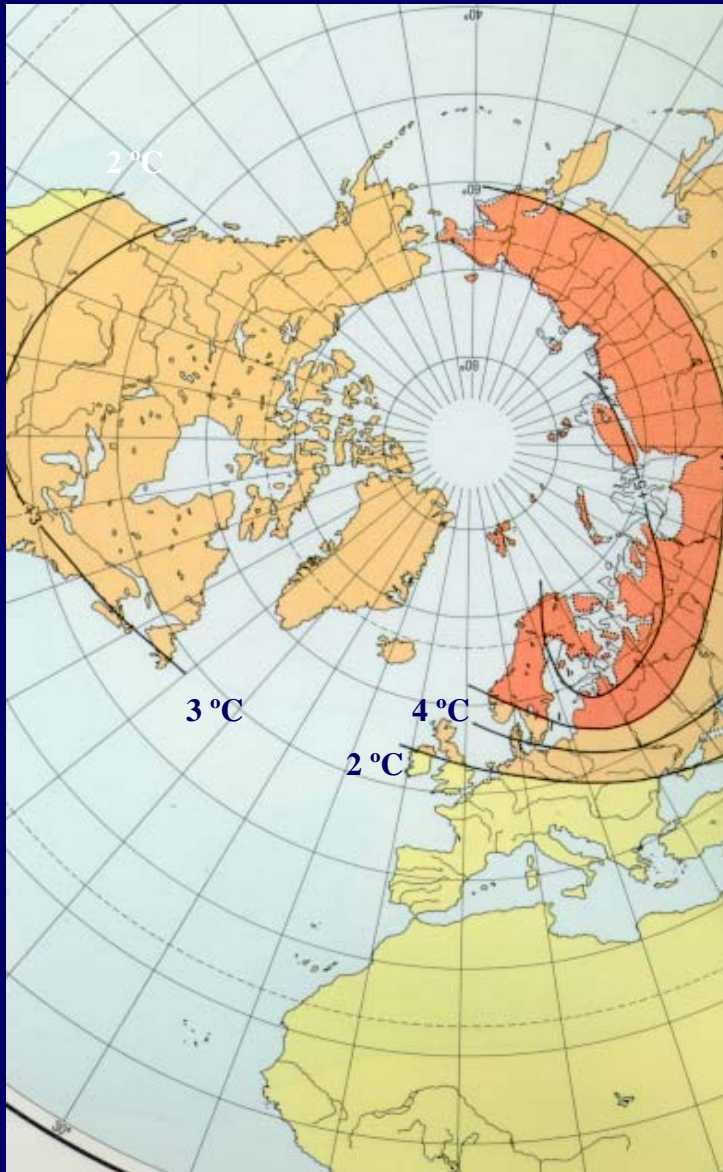


Area Longa (Fazouro, Foz, Lugo)



Prewürm

Prewärm

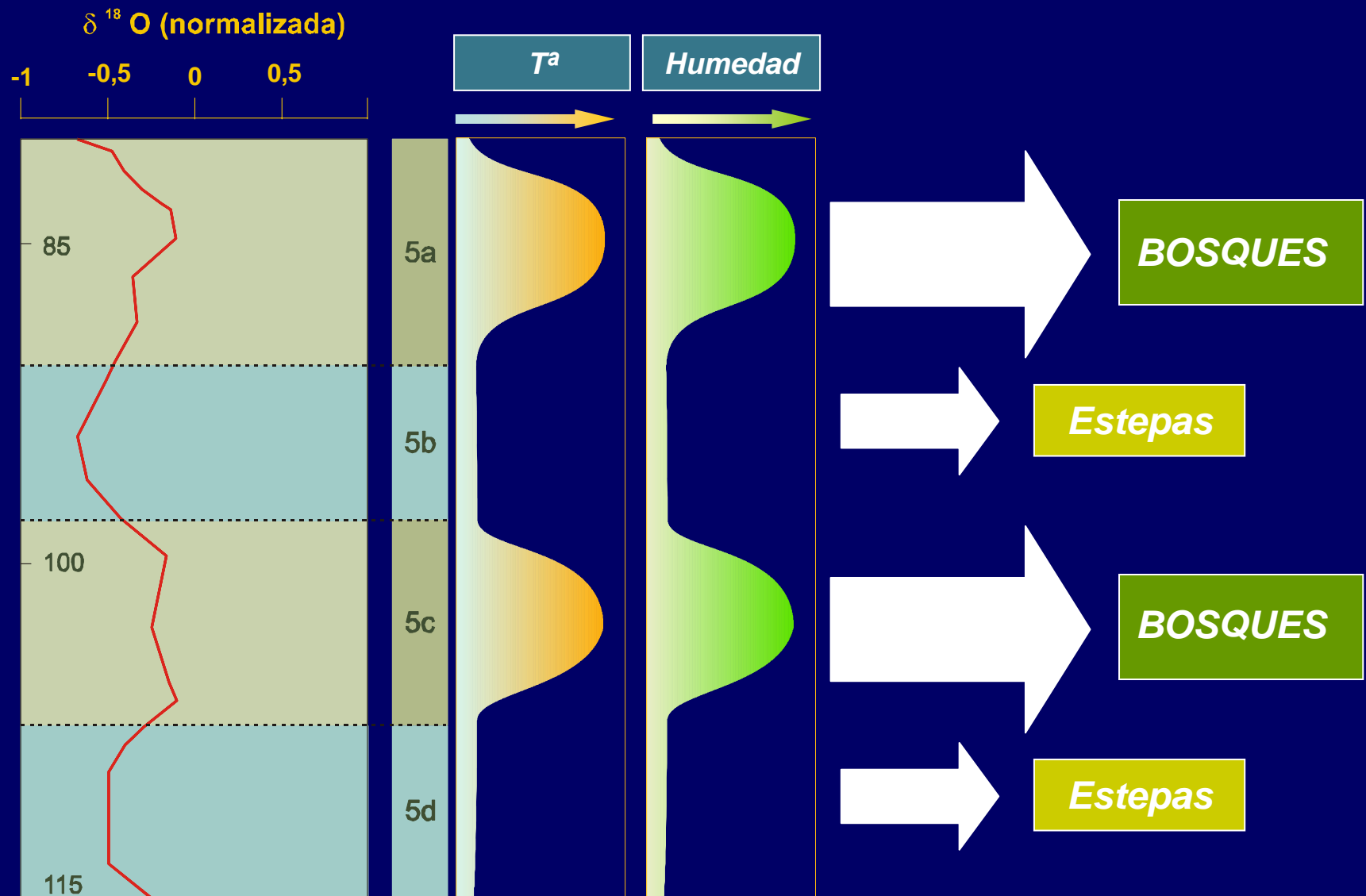


Diferencia de T actual

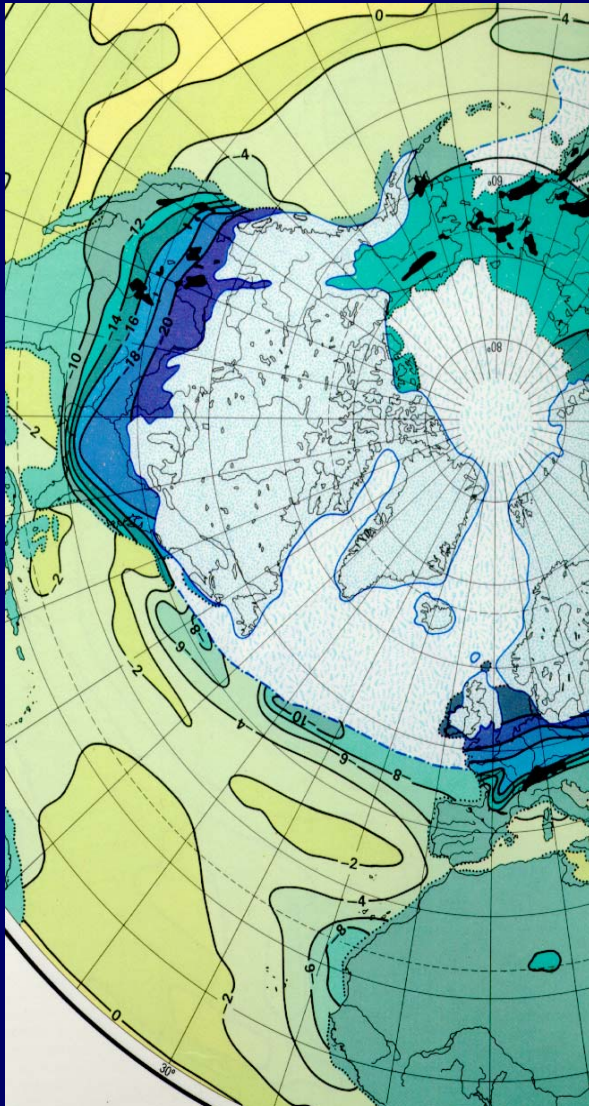


Vegetación

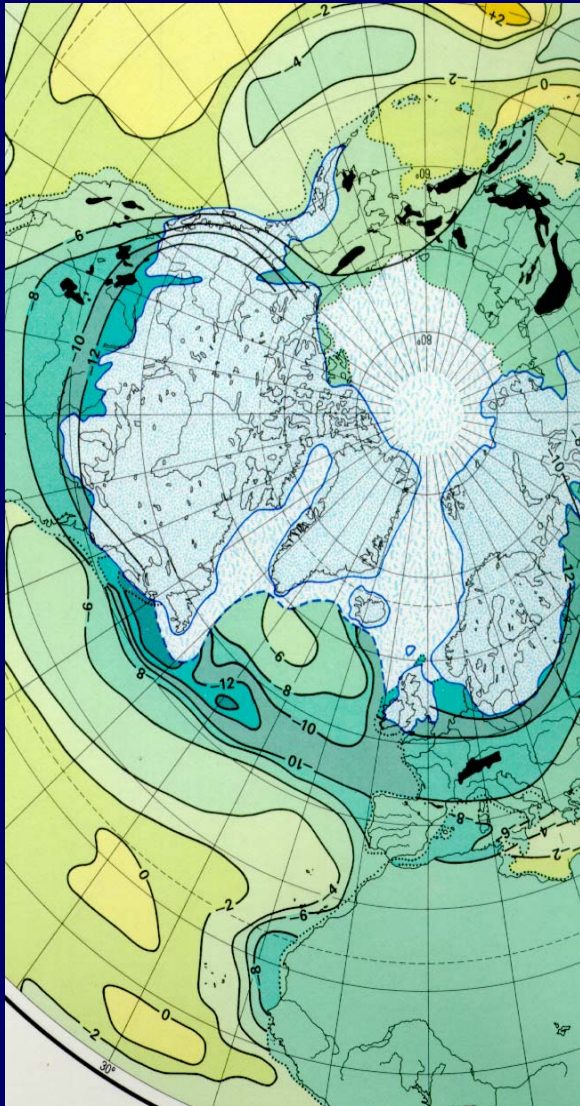
Prewärm



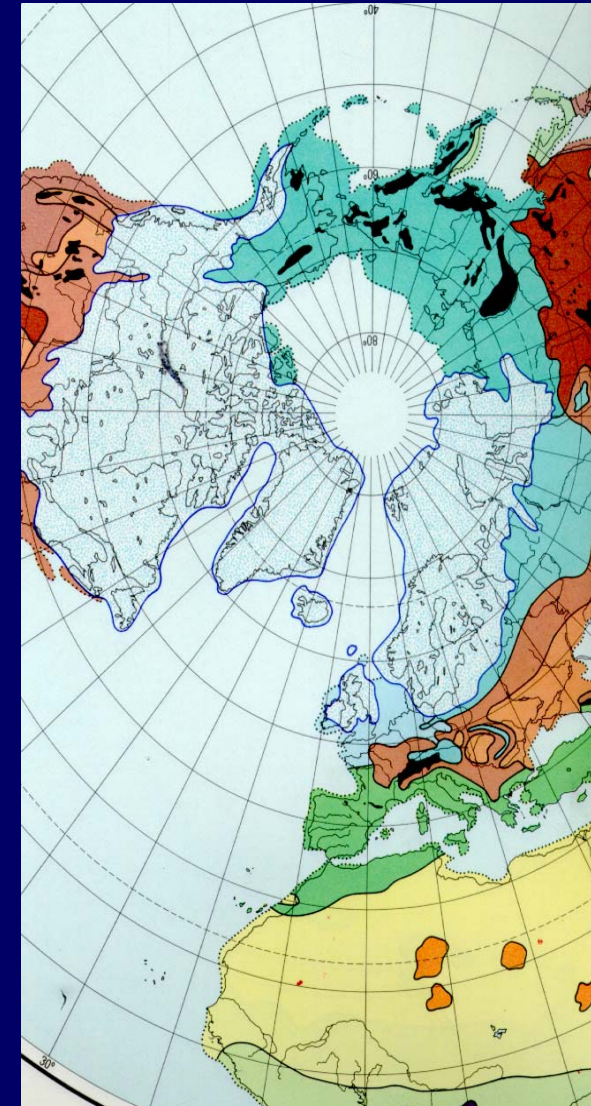
Pleniglacial Würmiense Inicial



T (febrero)

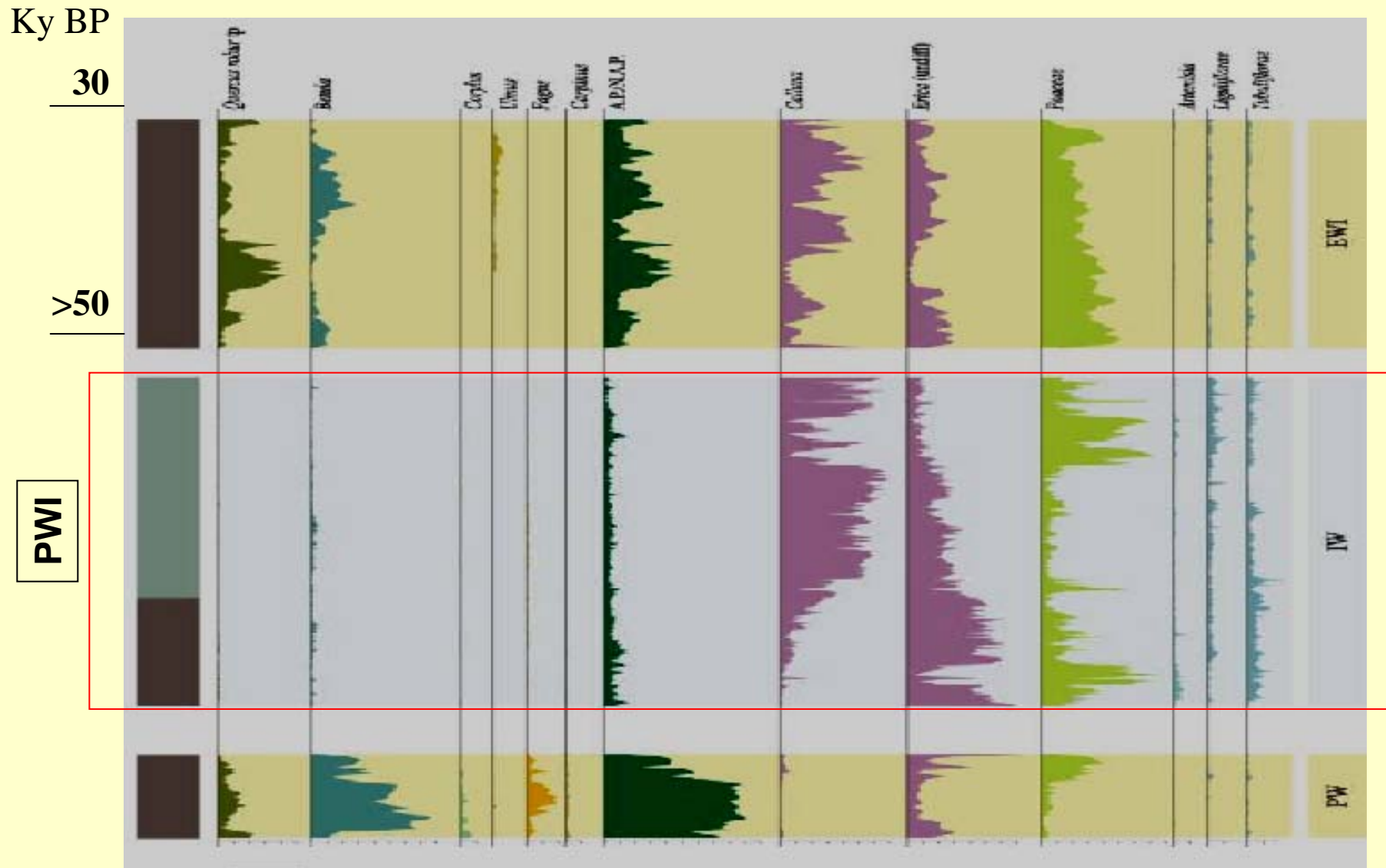


T (agosto)



Vegetación

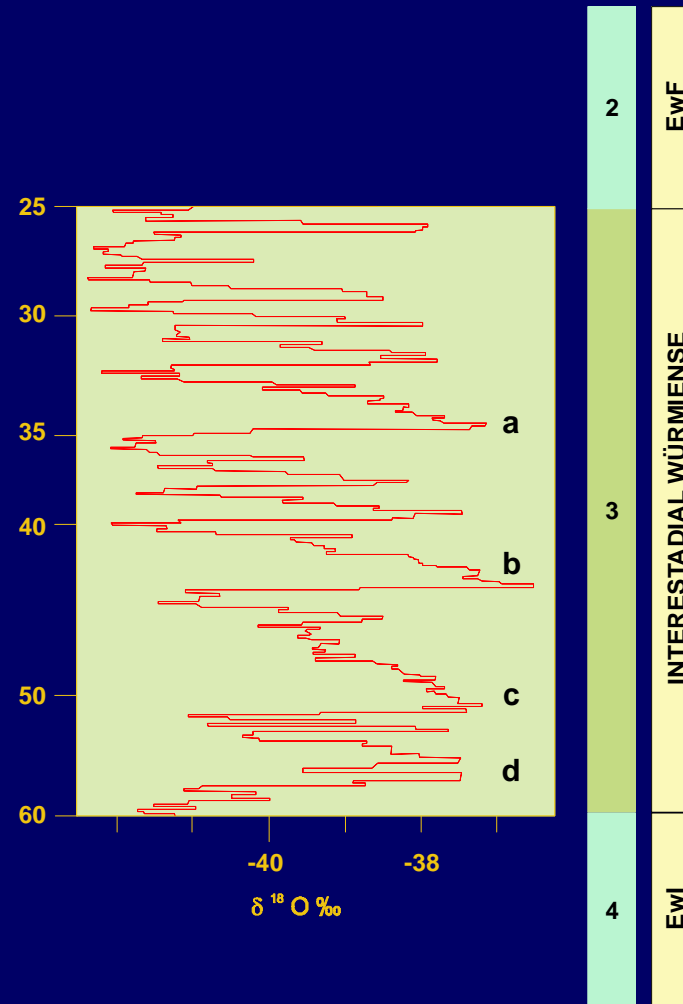
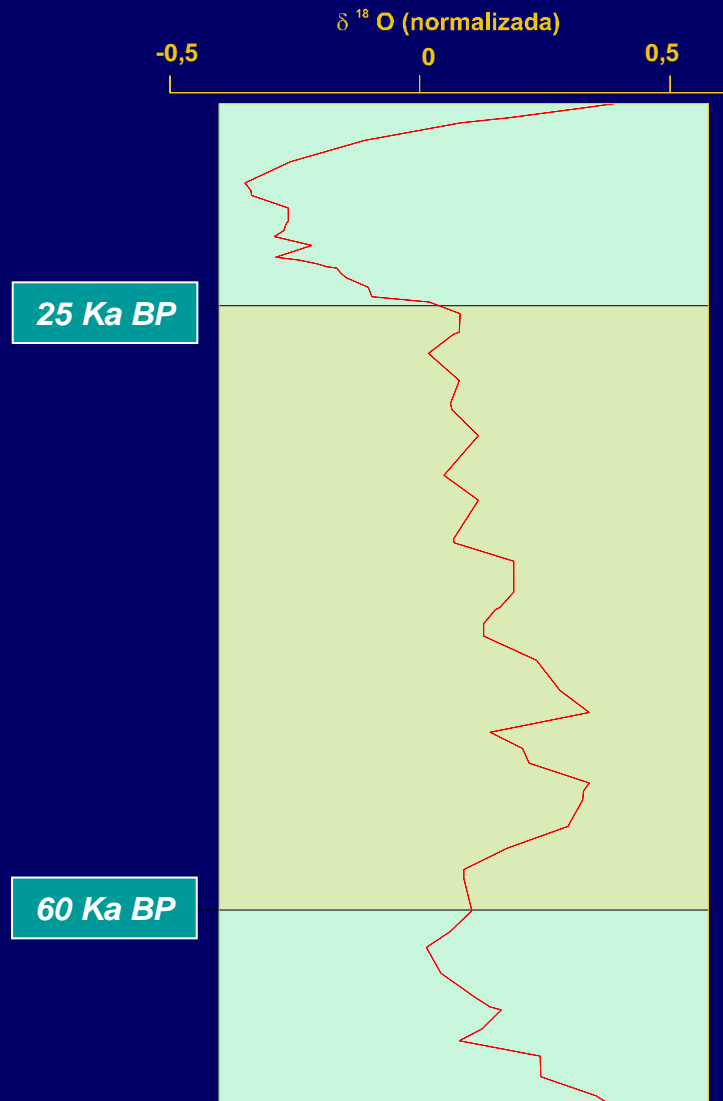
Area Longa (Fazouro, Foz, Lugo)



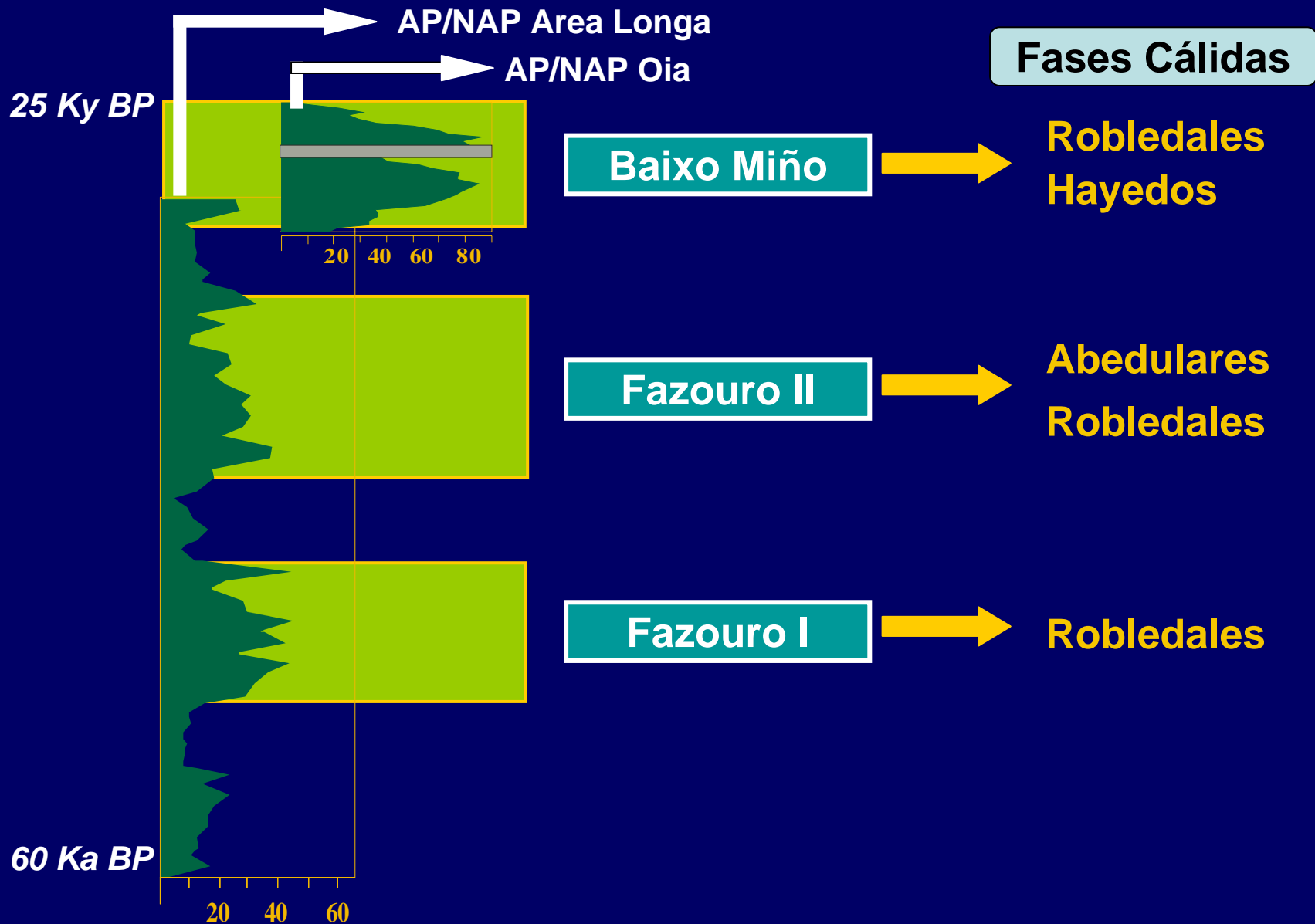
Interestadial Würmiense

Secuencias oceánicas

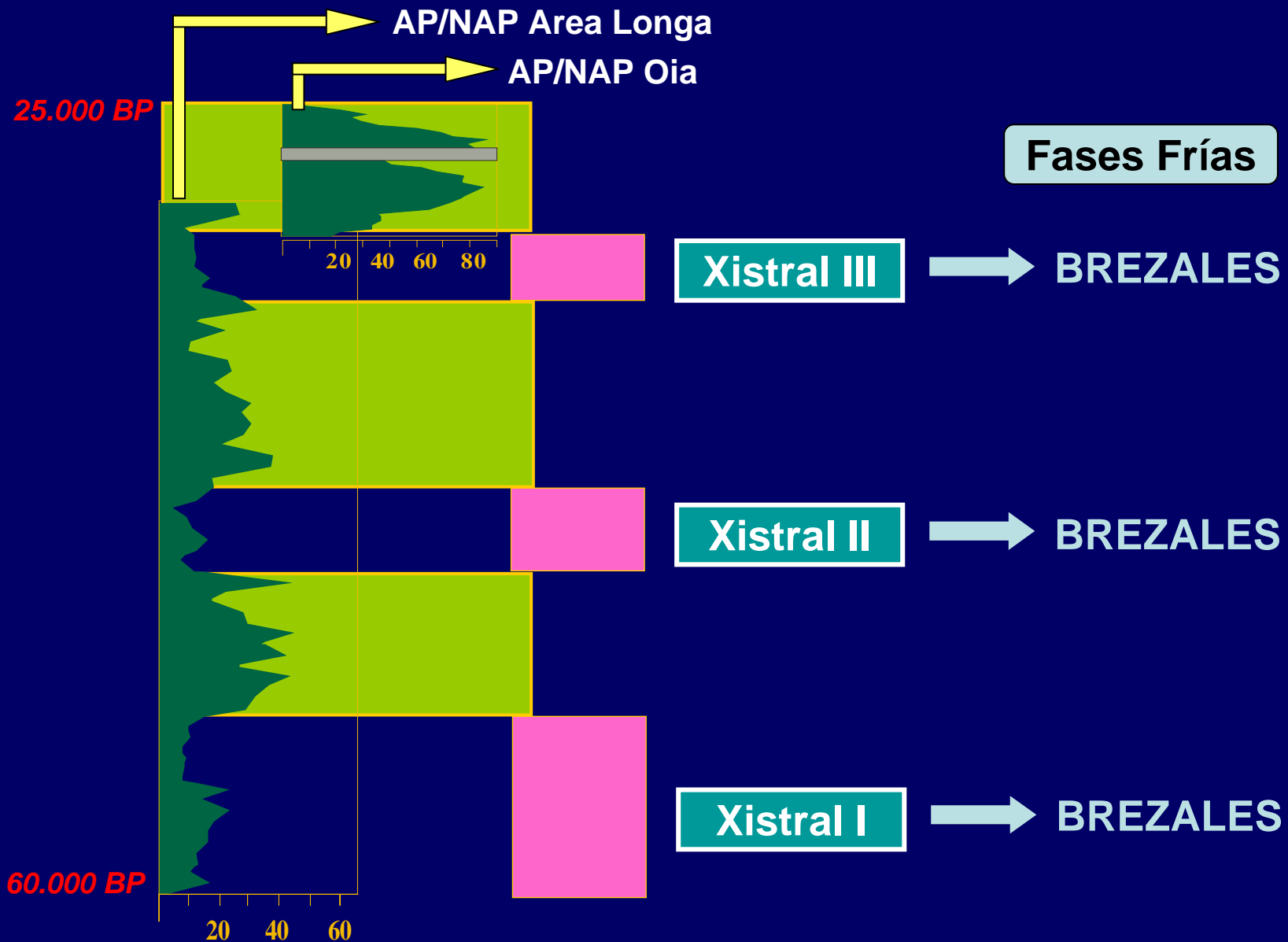
Secuencias de Hielo



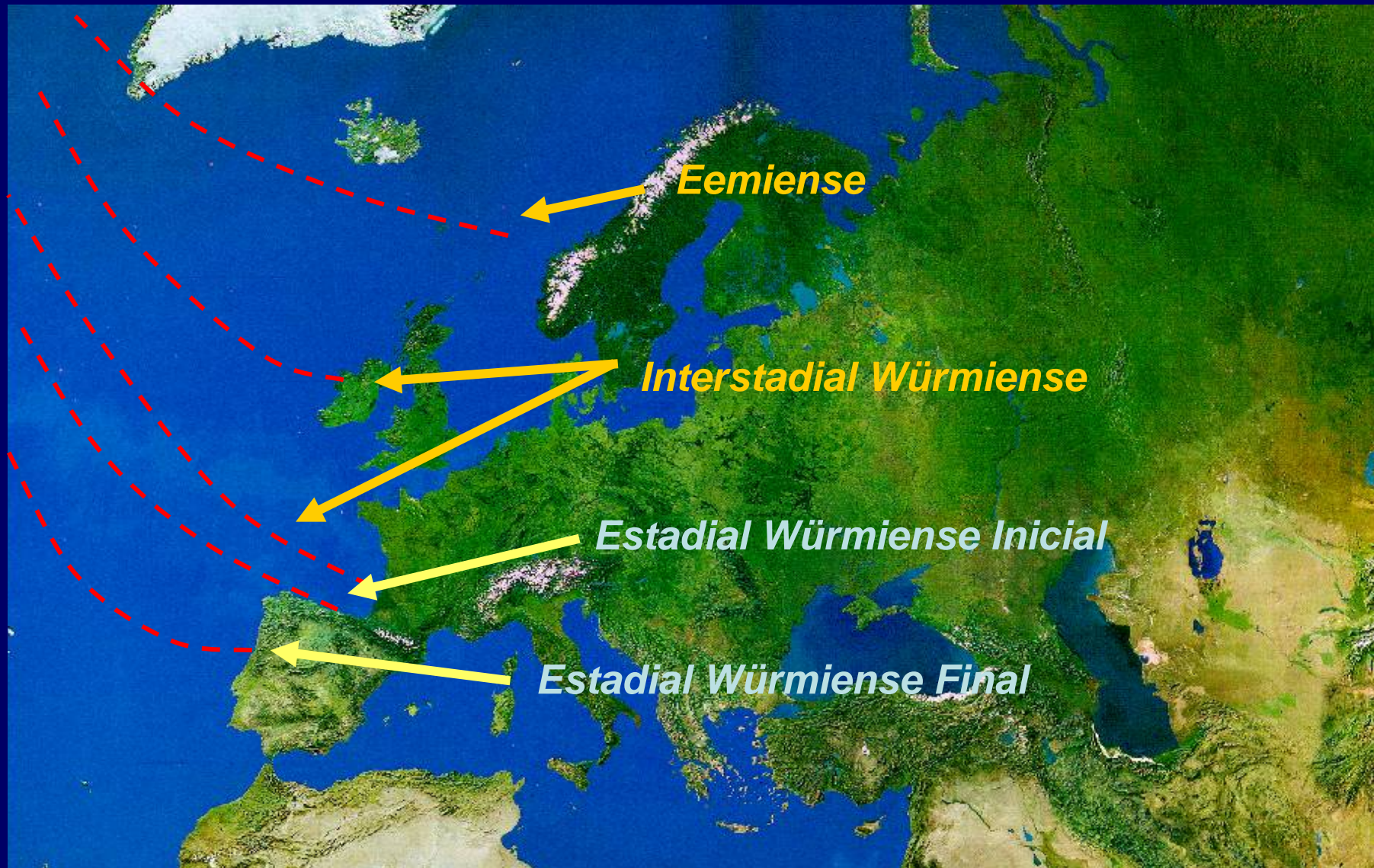
Interestadial Würmiense



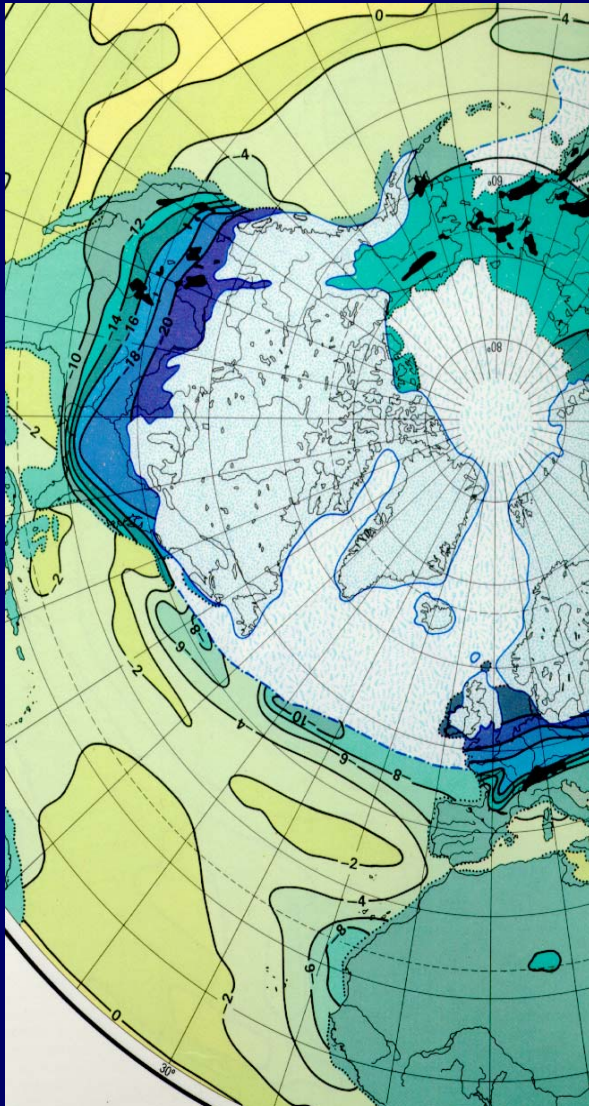
Interstadial Würmiense



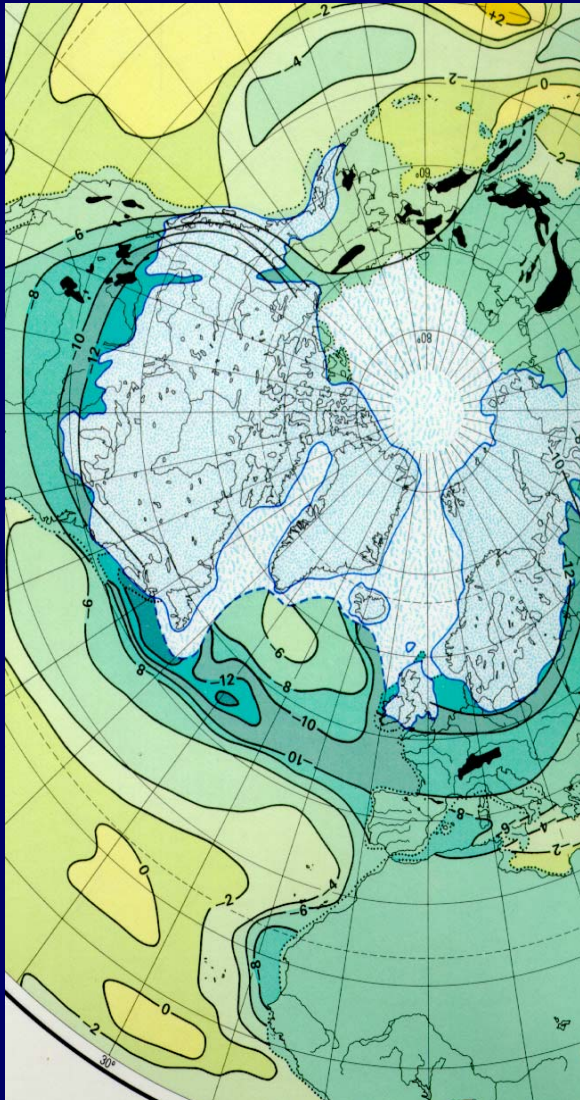
Situación del Frente Polar en el Atlántico Norte



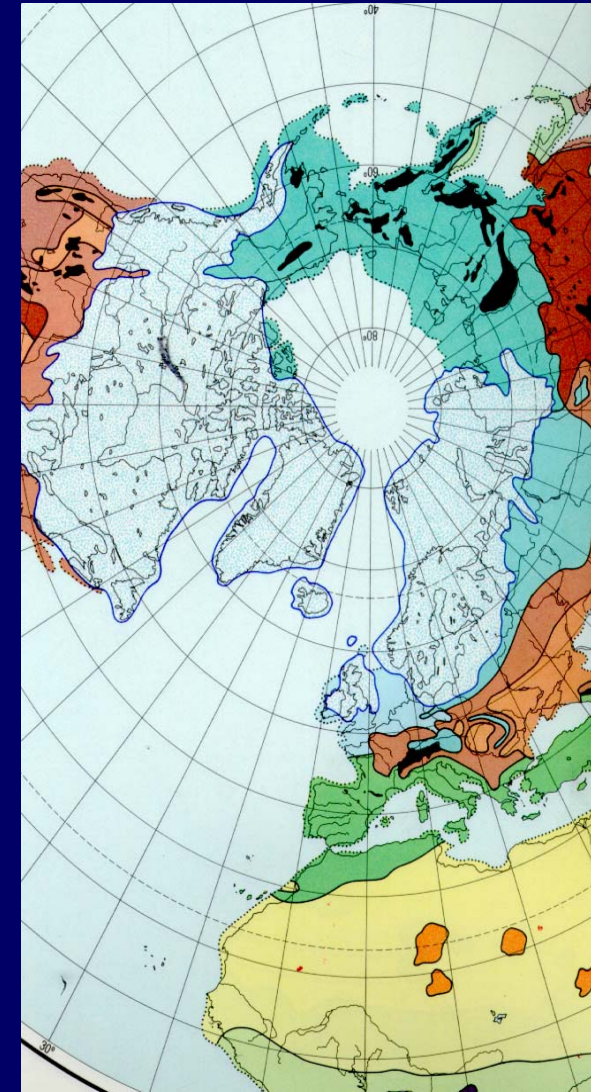
Pleniglacial Würmiense Final



T (febrero)



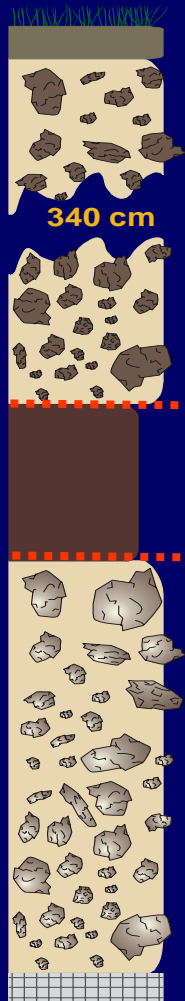
T (agosto)



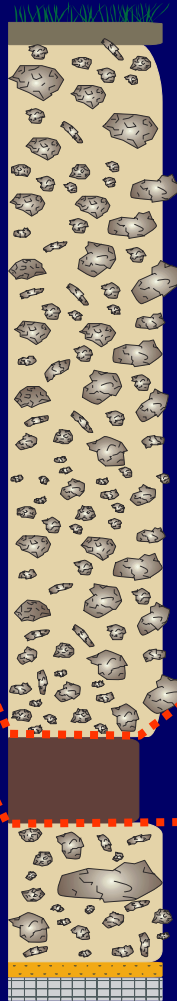
Vegetación

Pleniglacial Würmiense Final

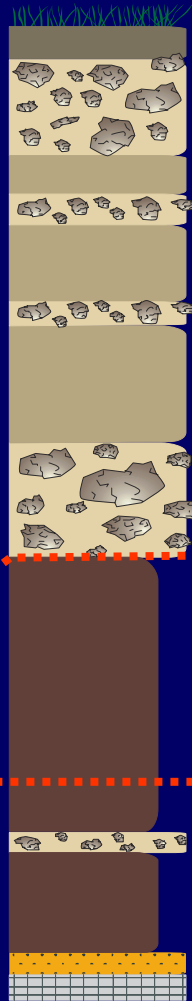
Río Boó



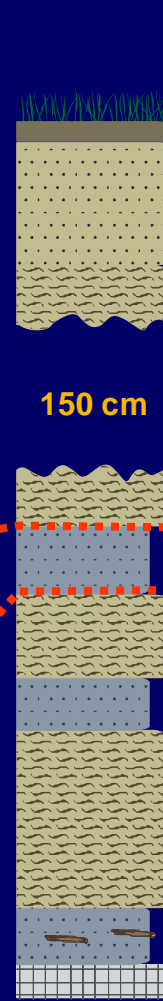
Caamaño



Oia



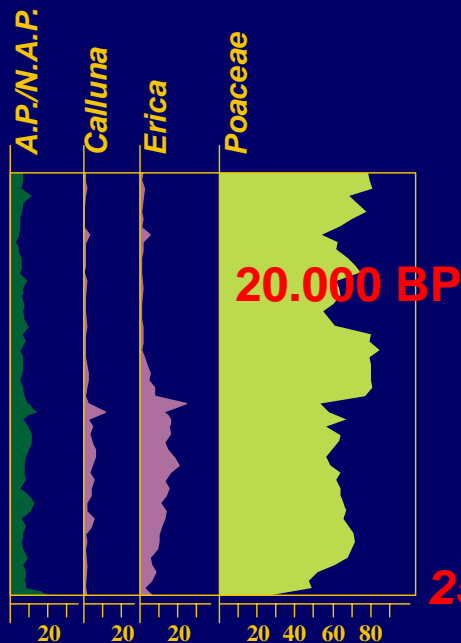
Maceda



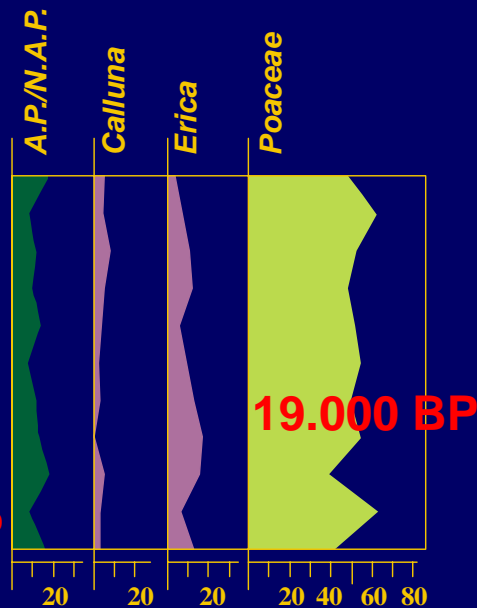
Estadial Würmiense Final

Pleniglacial Würmiense Final

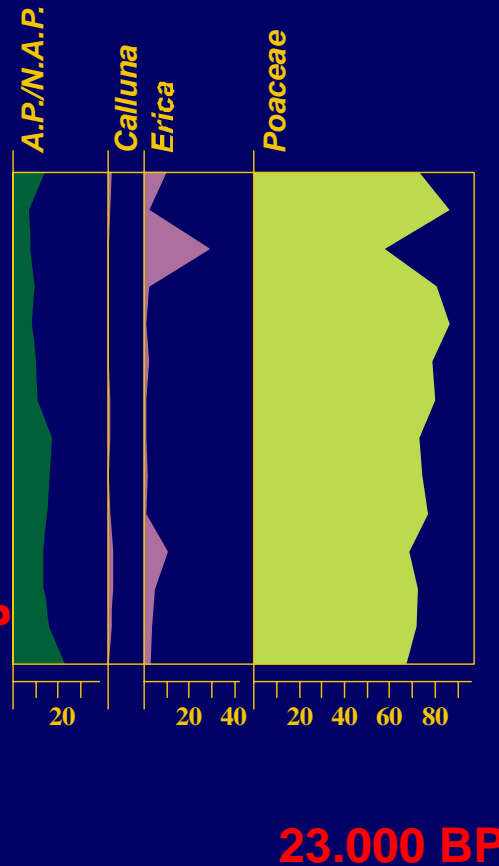
OIA



CAAMAÑO



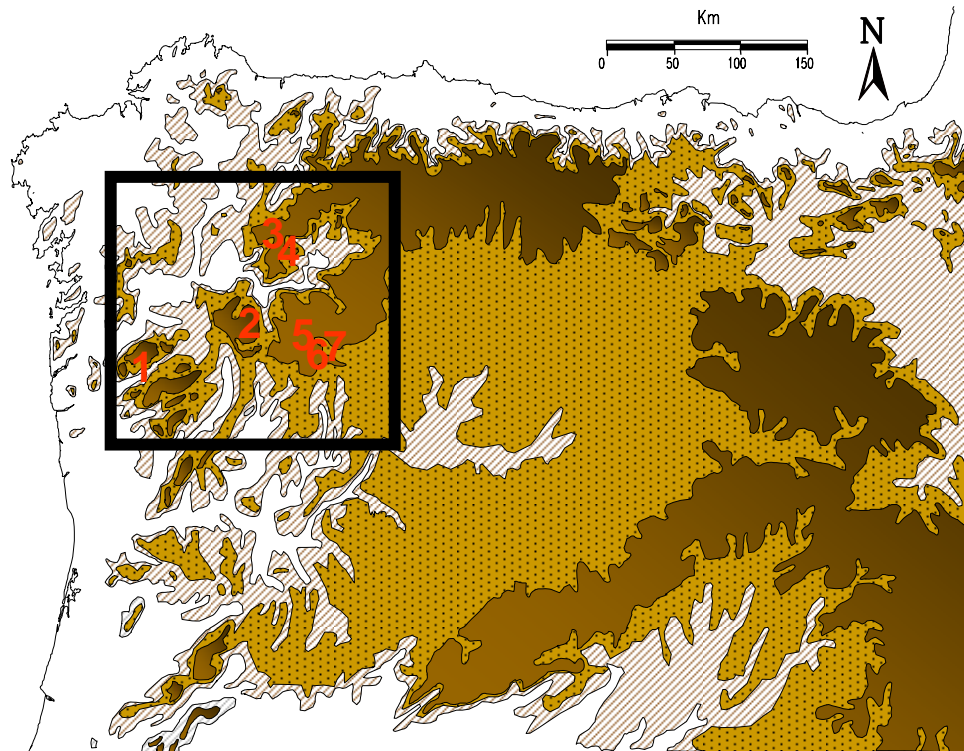
RÍO BOÓ



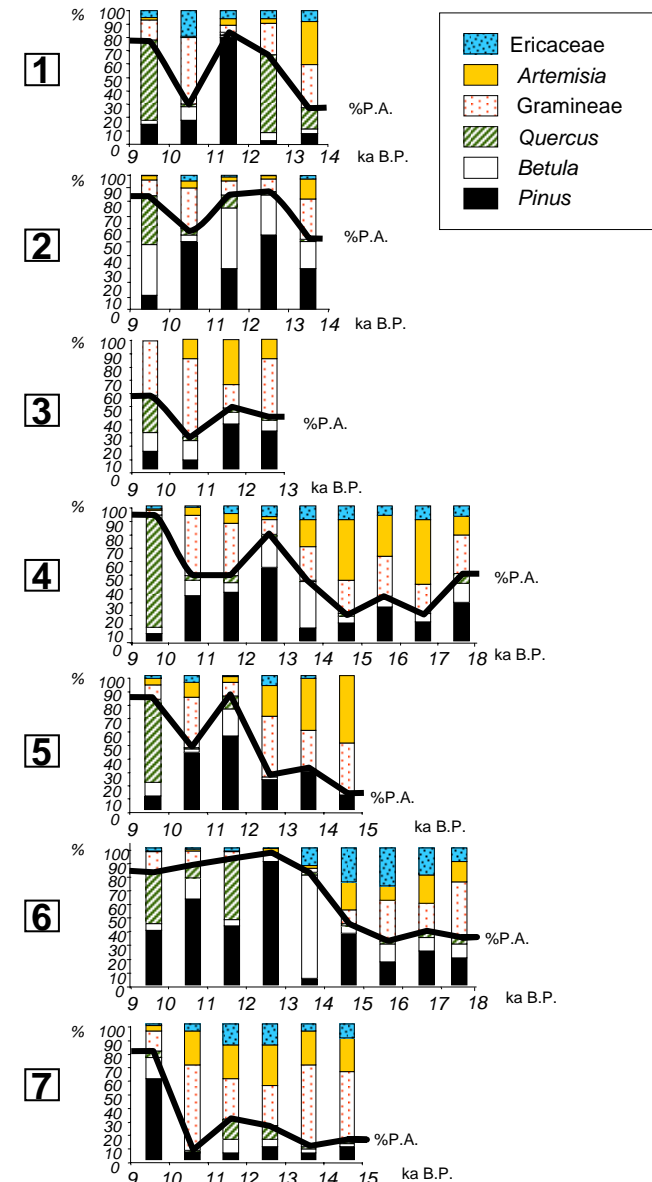
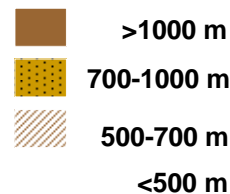
MACEDA



Tardiglacial: Secuencias Regionales

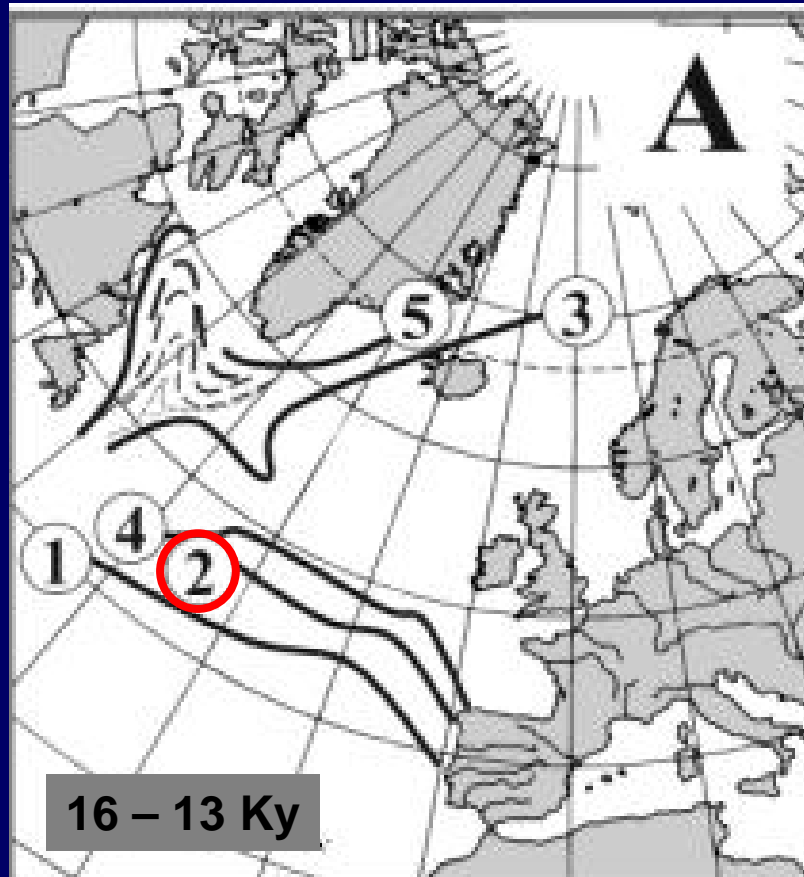


1. Lagoa de Marinho (1150 m)
2. Lagoa de As Lamas (1360 m)
3. Pozo do Carballal (1330 m)
4. Lagoa de Lucenza (1375 m)
5. La Roya (1608 m)
6. Llaguna (1050 m)
7. Laguna de Sanguijuelas (1080 m)



Situación del Frente Polar en el Atlántico Norte

Ruddiman & McIntyre (1981)



Koc et al, 1993; Berger et al 1995

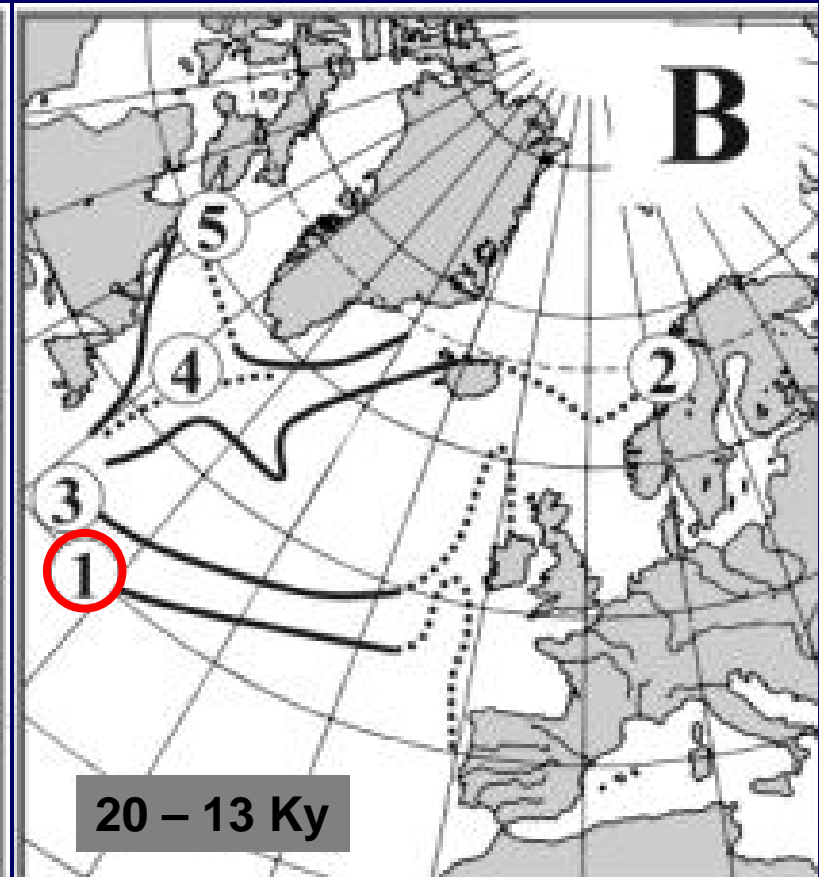
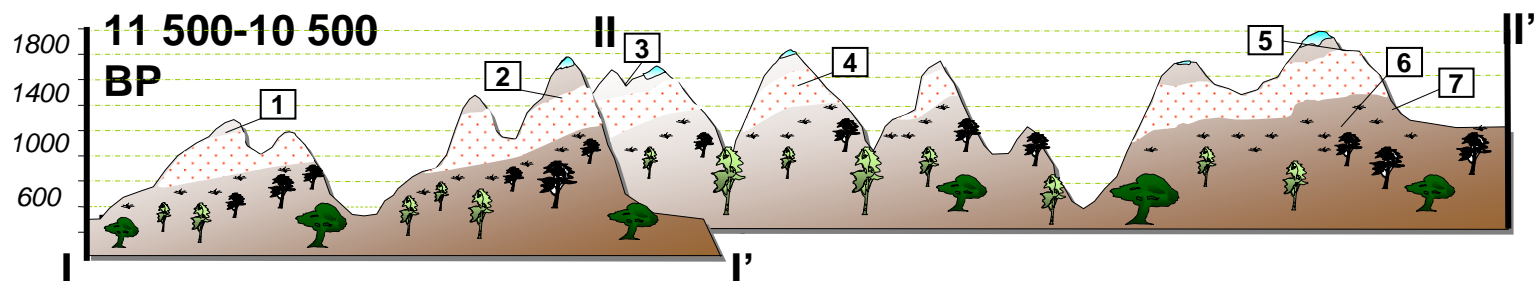
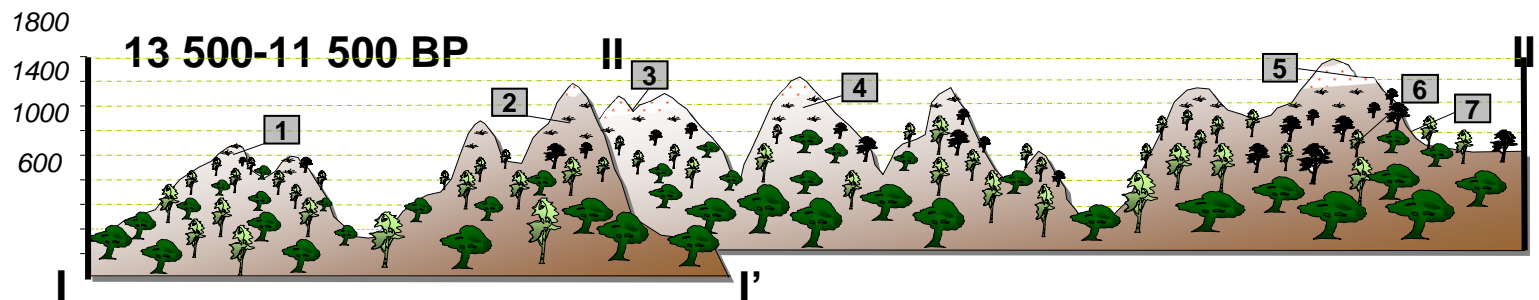
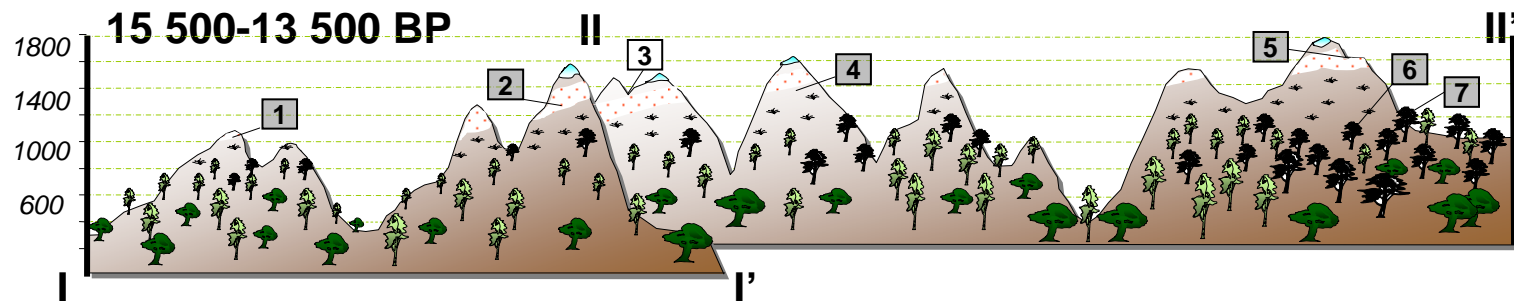
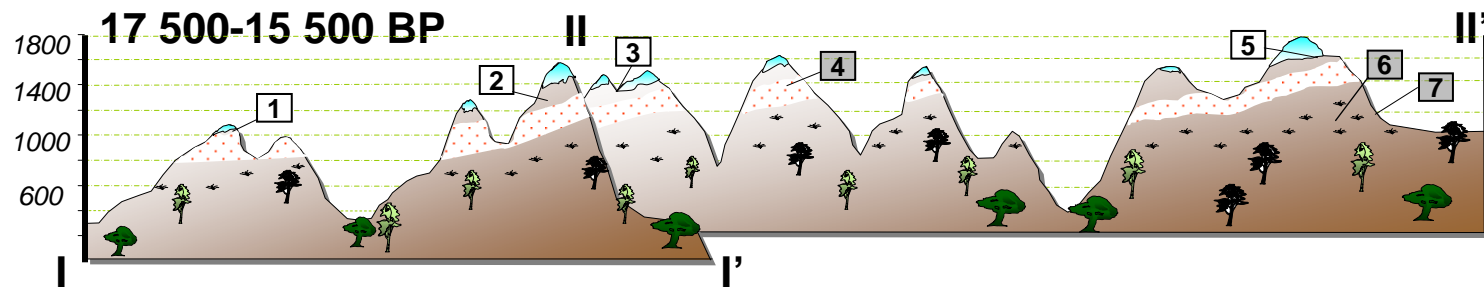
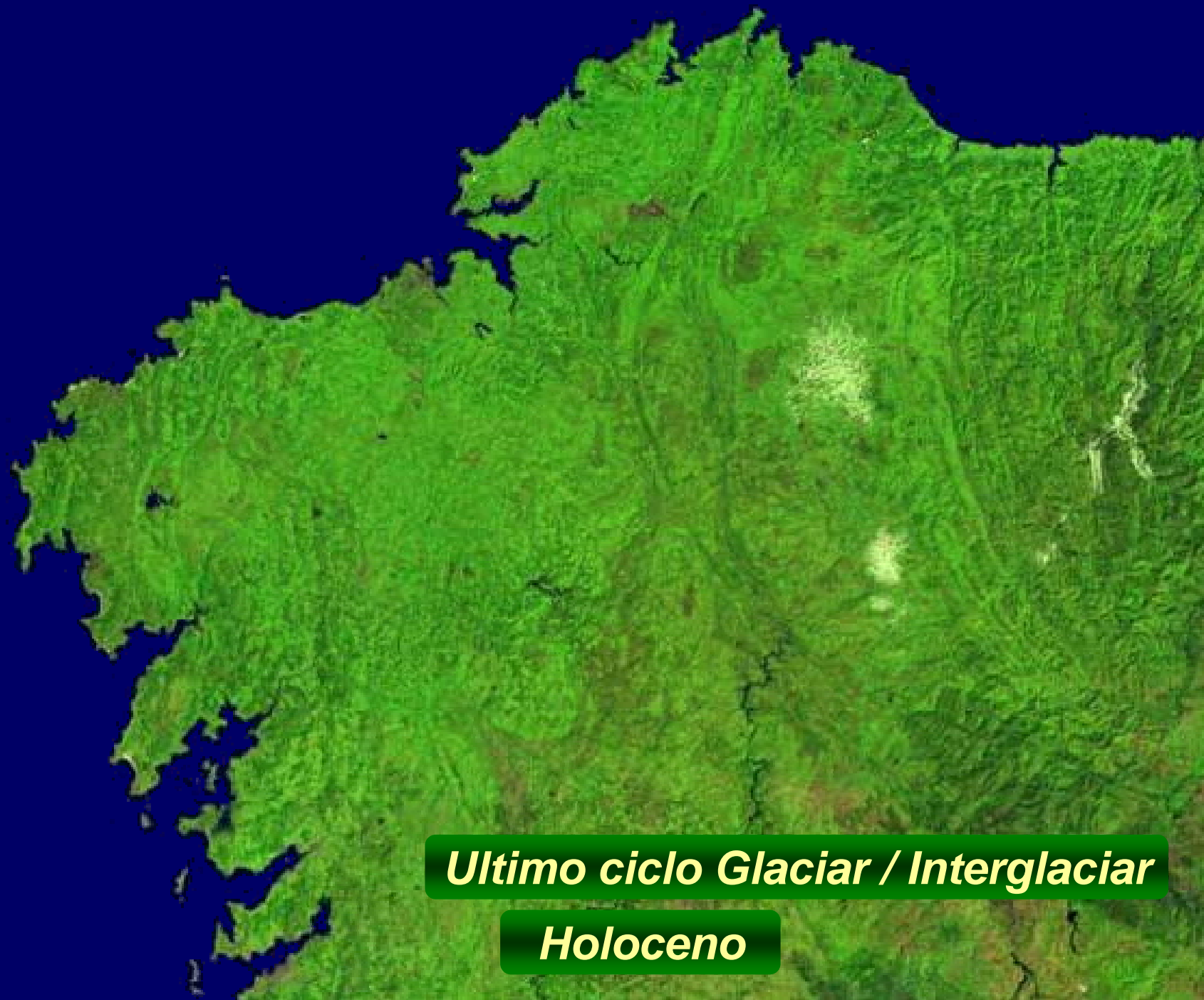


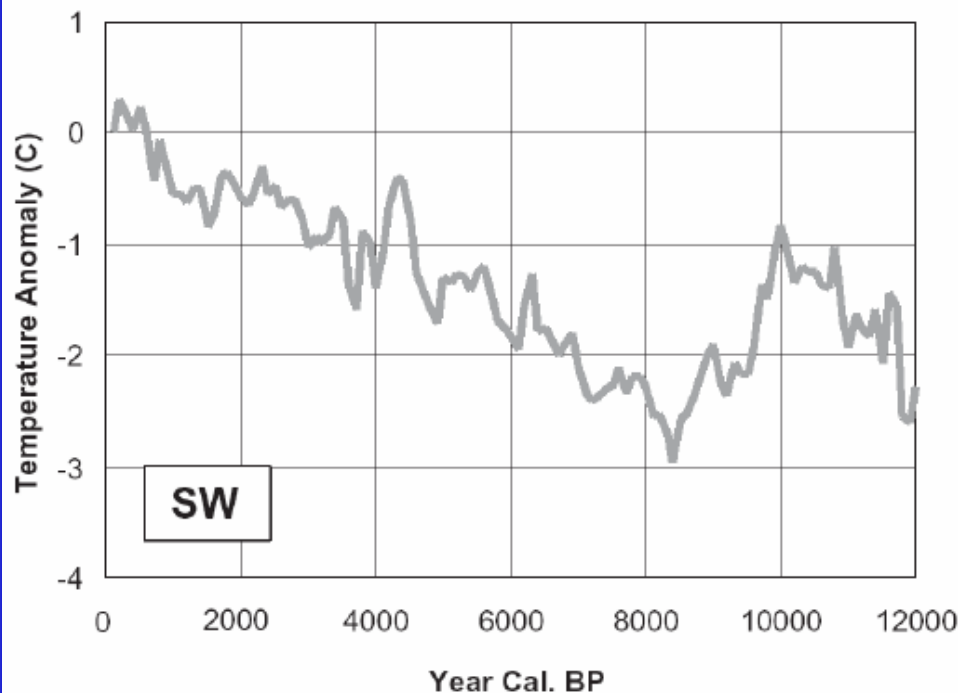
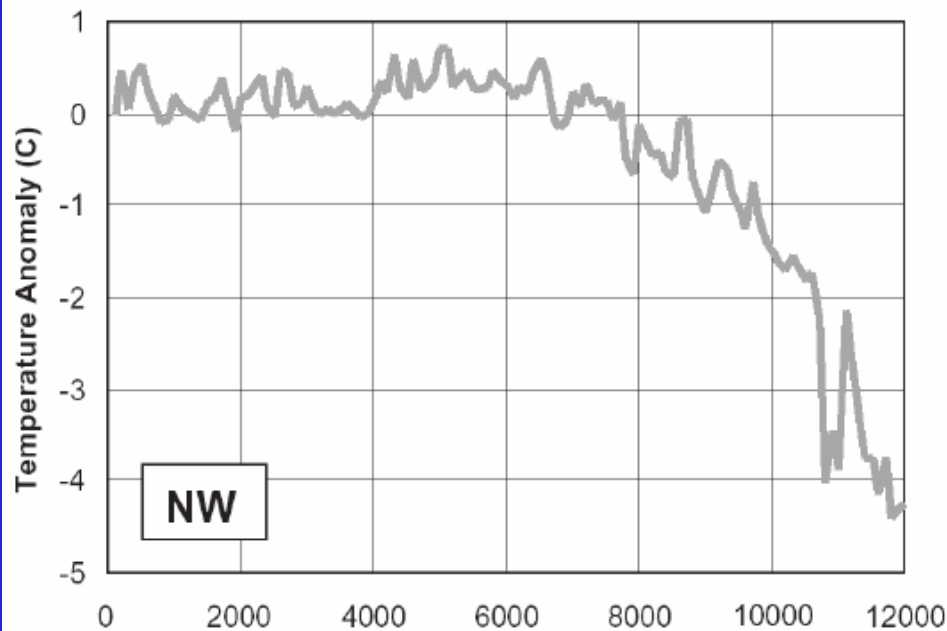
Fig. 7. Oscilaciones de la posición del frente polar sobre el Atlántico Norte desde el último máximo glaciar. A) A partir de RUDDIMANN & MCINTYRE, 1981: A1= 20000-16000 BP. A2= 16000-13000 BP. A3=13000-11000 BP. A4= 11000-10000 BP. A5= 9000-6000 BP. B) Modificaciones del modelo anterior (trazo discontinuo) propuestas en KOC *et al.*, 1993 y BERGER & JANSEN, 1995: B1= 20000-13000 BP. B2= 13000-11000 BP. B3= 11000-10000 BP. B4= 10000-9000 BP. B5= 9000-6000 BP.





Ultimo ciclo Glaciar / Interglaciar

Holoceno



Reconstrucción de la variación en las temperaturas medias anuales del aire durante el Holoceno en Europa (NW / SW).

Davis, B.A.S., S. Brewer, A.C. Stevenson and J. Guiot (2003) The temperature of Europe during the Holocene reconstructed from pollen data. *Quaternary Science Reviews*, 22(15-17), 1701-1716

Pozo do Carballal (Pedrafita, 1330 m)

Fase Catatérmica

